

01

## Оптимизация уравнения для вычисления коэффициента заполнения при проектированииборок Хальбаха

© F. Balci<sup>1</sup>, A. Bingolbali<sup>1,¶</sup>, N. Dogan<sup>2</sup>, M. Irfan<sup>3</sup><sup>1</sup> Department of Bioengineering, Yıldız Technical University, Istanbul, Turkey<sup>2</sup> Department of Physics, Gebze Technical University, Gebze, Turkey<sup>3</sup> Department of Electronics Engineering, Gebze Technical University, Gebze, Turkey

¶ E-mail: ab1353@gmail.com

Поступило в Редакцию 12 мая 2020 г.

В окончательной редакции 10 октября 2020 г.

Принято к публикации 18 октября 2020 г.

В рамках задачи магнитопорошкового и магнитно-резонансного формирования изображений проведено моделирование поля выбора (пространственно неоднородного) и поля возбуждения (пространственно однородного), создаваемых с помощью магнитов Хальбаха. В области применения структур Хальбаха ключевыми факторами являются характеристики постоянных магнитов (длина и остаточная плотность магнитного потока) и геометрические параметры сборки (фактор заполнения ( $FF$ ), число магнитов и радиус структуры). Влияние отношения факторов заполнения на плотность магнитного потока исследовалось на схемах с четырьмя и восемью цилиндрическими магнитами. Выведено новое математическое выражение, позволяющее точно рассчитать необходимое расположение магнитов даже для случая 100% заполнения ( $FF = 1$ ). Проведен численный расчет согласно предложенной модели, при этом точность определения плотности магнитного потока в четырехмагнитной системе на 17% превысила точность, обеспечиваемую моделью, предложенной в литературе.

**Ключевые слова:** магниты Хальбаха, фактор заполнения ( $FF$ ), магнитопорошковое формирование изображения (MPI), магнитно-резонансное формирование изображений (MRI).

DOI: 10.21883/PJTF.2021.04.50635.18453

Магнитная сборка Хальбаха представляет собой конфигурацию постоянных магнитов, обеспечивающую, с одной стороны, усиление магнитного потока, а с другой — его уменьшение вплоть до полного исчезновения. Такие двумерные схемы распределения намагниченности были впервые предложены Маллинсоном в 1971 г. [1]. Дальнейшая разработка таких схем распределения намагниченности была проведена Хальбахом [2,3], в результате чего были созданы системы многополярных постоянных магнитов, которые в течение последних десятилетий известны как сборки Хальбаха. Известны конфигурации магнитов Хальбаха линейного, кругового или сферического типа. Такие конфигурации магнитов могут создавать биполярные или многополярные магнитные поля.

Фактор заполнения [4] является одним из наиболее важных параметров магнитов Хальбаха, определяющим их эксплуатационные характеристики и применимость в различных областях (см. работы [5–15]), например в методах магнитопорошкового (MPI) и магнитно-резонансного (MRI) формирования изображений в медицинских целях. Фактор заполнения ( $FF$ ), упоминаемый при описании конфигурации магнитов Хальбаха, представляет собой коэффициент заполнения магнитов такой системы.

Значение  $FF$  существенно влияет на изменение плотности магнитного потока. Целью настоящей работы является оптимизация приведенного в работе [4] уравнения для расчета фактора заполнения магнита Хальбаха,

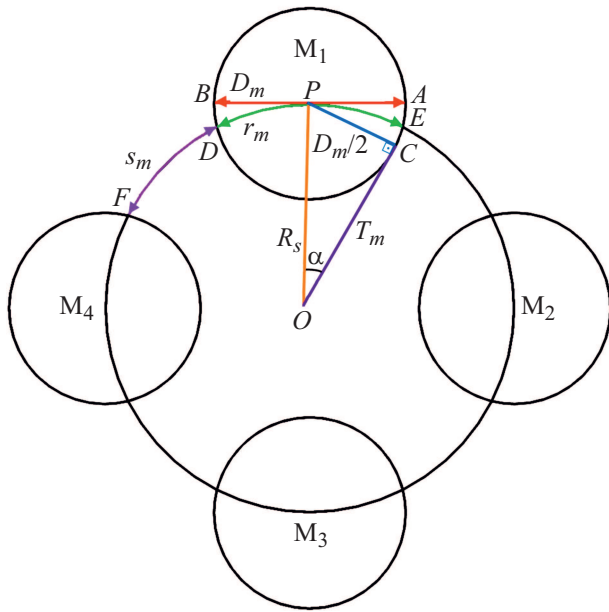
недостатком которого является отождествление диаметра магнита с длиной занимаемой им дуги. Кроме того, это уравнение подразумевает перекрытие расположенных следом друг за другом магнитов при 100% заполнении ( $FF = 1$ ). Из-за этих особенностей используемое в литературе уравнение для определения  $FF$  нельзя считать корректным.

В результате развития предложенной здесь математической модели удалось построить такую конфигурацию магнитов (сборку Хальбаха), при которой коэффициент заполнения, равный 1, обеспечивается без взаимного перекрытия соседних магнитов. В работе исследуется влияние значения  $FF$  на плотность магнитного потока в системах Хальбаха с четырьмя и восемью магнитами ( $M$ ). Чтобы выделить влияние именно величины  $FF$ , значения всех остальных параметров (длины, остаточной магнитной индукции, радиуса структуры) поддерживались на постоянном уровне. Оптимизация всех параметров была также проведена, и влияние их значений на характеристики сборки Хальбаха было тщательно изучено [16]. На рис. 1 представлена геометрическая схема сборки Хальбаха с четырьмя магнитами.

Радиус магнита  $|CP|$  выражается через центральный угол ( $COP$ ), обозначенный как угол  $\alpha$ :

$$|CP| = \frac{D_m}{2} = R_s \sin(\alpha), \quad (1)$$

где  $\frac{D_m}{2}$  — радиус магнита, а  $R_s$  — радиус сборки. Поскольку полный угол в точке  $O$  составляет  $2\pi = 360^\circ$ ,



**Рис. 1.** Двумерное изображение четырехмагнитной сборки Хальбаха. Радиус сборки обозначен как  $R_s$ .  $D_m$  — диаметры постоянных магнитов ( $M_1$ ,  $M_2$ ,  $M_3$  и  $M_4$ ),  $\alpha$  — угол между касательной к магниту ( $T_m$ ) и радиусом сборки,  $r_m$  — длина дуги, перекрытой магнитом,  $s_m$  — длина дуги между магнитами.

при любом значении  $FF$  внешний касательный угол каждого магнита можно определить как

$$\alpha = \frac{\pi \cdot FF}{n}. \quad (2)$$

В такой модели легко учитываются изменения радиусов как магнитов, так и всей сборки. Таким образом, выражение для  $FF$  принимает следующий вид:

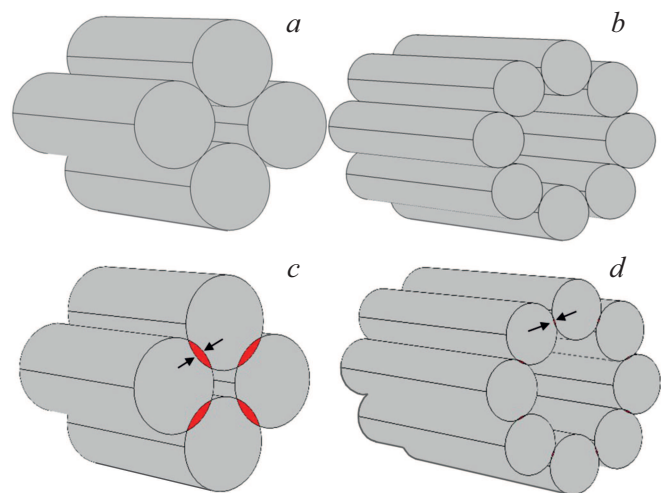
$$FF = \frac{n}{\pi} \arcsin\left(\frac{D_m}{2R_s}\right). \quad (3)$$

Благодаря точному математическому представлению коэффициента  $FF$  проблема перекрытия соседних магнитов устраняется. В отличие от модели, принятой в литературе, данная модель не включает в себя периметр корпуса сборки (т.е.  $2\pi R_s$ ). В результате проблема совмещения магнитов при  $FF = 1$  решается так, как показано на рис. 2.

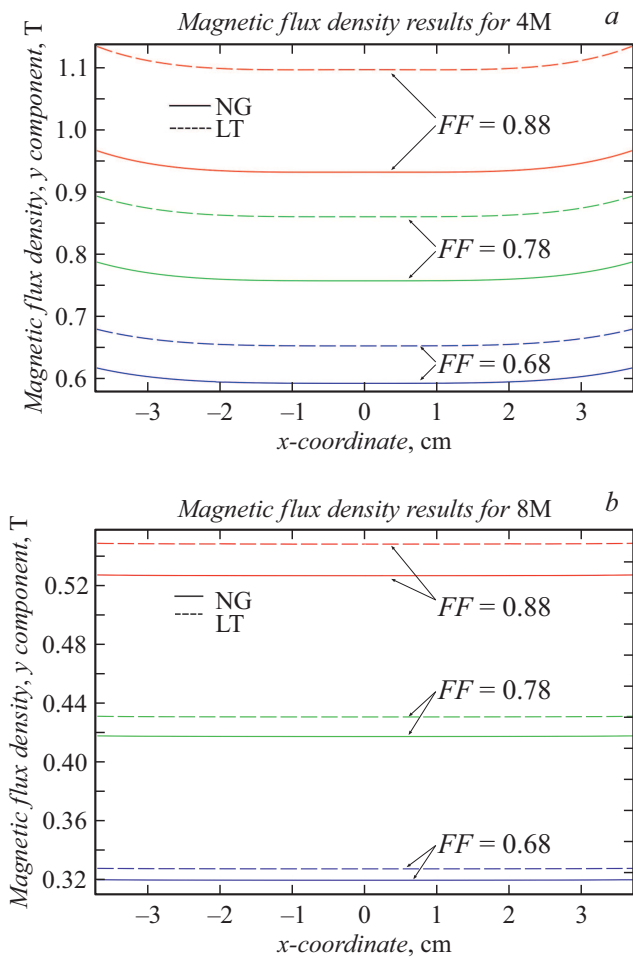
В данном исследовании проведен расчет плотности магнитного потока в центре системы на примере цилиндрических сборок Хальбаха с четырьмя и восемью магнитами, поскольку именно такая конфигурация используется чаще других, особенно в случае задачи магнитопорошковой визуализации. Для систем Хальбаха, построенных на основе уравнения (3) и выражения, приведенного в литературе [4], численный расчет плотности магнитного потока был выполнен с помощью программы COMSOL Multiphysics 5.3a (COMSOL AB, Стокгольм, Швеция).

При этом значения радиуса сборки Хальбаха (12.5 cm), длины постоянного магнита ( $l = 50$  cm) и остаточной магнитной индукции (т.е. коэффициента  $B_r$  магнитов, равного 1.2 T) поддерживались на постоянном уровне. Для оценки влияния коэффициента  $FF$  на плотность магнитного потока была проведена параметрическая оптимизация. На рис. 3 представлены результаты сравнения расчетов по новой модели с результатами использования уравнения, приведенного в литературе, причем сравнение проводилось в центральных точках геометрических систем (рис. 3). Результаты, полученные с помощью новой модели, со всей очевидностью превосходят те, которые дает уравнение, приведенное в литературе. При моделировании были заданы четыре разных значения коэффициента заполнения (0.68, 0.78, 0.88 и 1). По окончании вычислений было проведено сравнение результатов обеих моделей.

В практических приложениях фактор заполнения играет важную роль в определении зазора между магнитами, необходимого для фиксации полюсов магнитов Хальбаха в определенных точках. Неадекватность приведенного в литературе выражения становится особенно заметной в случае систем с небольшим числом магнитов, например систем Хальбаха с четырьмя и восемью магнитами, когда погрешность составляет  $\sim 17.6\%$ . Однако в конфигурациях, число магнитов в которых равно или превышает 12, приведенная в литературе величина погрешности варьируется в зависимости от коэффициента заполнения в пределах 0.5–1.5%. Таким образом, различие между результатами, предоставляемыми модифицированной моделью (уравнение (3)) и старой моделью (уравнение, приведенное в литературе), значительно уменьшается при использовании большого (более 10) количества магнитов.



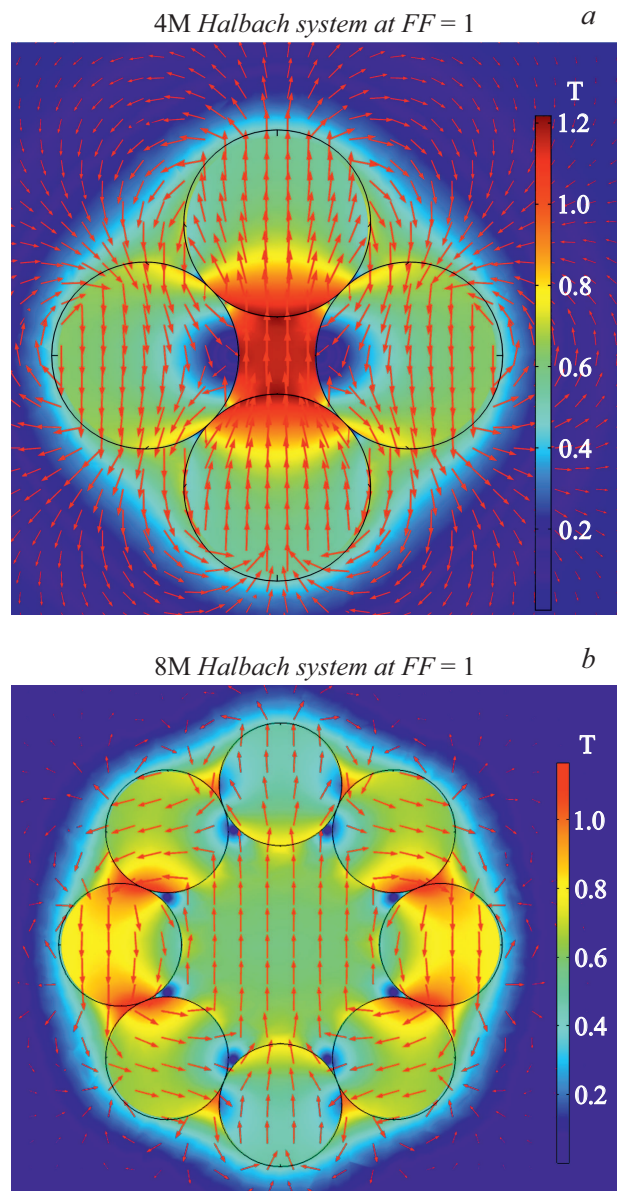
**Рис. 2.** Сравнительное изображение четырехмагнитной и восьмимагнитной сборок Хальбаха, рассчитанных по нашей модели (уравнение (3)) ( $a, b$ ) и модели, приведенной в литературе ( $c, d$ ), для случая 100% заполнения. Очевидно наличие перекрытия магнитов в случаях, представленных на частях  $c$  и  $d$ .



**Рис. 3.** Влияние значения фактора заполнения на геометрические различия между системами, смоделированными с использованием уравнения, приведенного в литературе, и нашего нового уравнения, для четырехмагнитной (4М) (а) и восьмимагнитной (8М) (b) сборки. NG — новая геометрия (сплошные линии), LT — литературные данные (штриховые линии).

Из рис. 3 видно, что различие между значениями плотности магнитного потока, полученными с помощью указанных двух уравнений при значениях коэффициента заполнения 0.68, 0.78 и 0.88, составляет соответственно 10.08, 13.53 и 17.61% для систем с четырьмя магнитами и 2.41, 3.18 и 4.08% для систем с восемью магнитами. Кроме того, по оптимизированному уравнению были проведены расчеты для случая  $FF = 1$ . При этом наибольшие значения плотности магнитного потока 1.154 Т и 0.674 Т были получены соответственно при четырех и восьми магнитах (рис. 4). Центральные области сборок Хальбаха (с четырьмя и восемью магнитами) обладают высокой степенью однородности, что имеет большое значение в таких приложениях, как MRI и МРI. Однако с помощью уравнения, приведенного в литературе, спроектировать сборку Хальбаха с наибольшим (равным 1) коэффициентом  $FF$  не представляется возможным.

В настоящей работе было обнаружено, что недостаток (погрешность) приведенного в литературе уравнения порождает погрешность порядка 17% для четырехмагнитной системы Хальбаха и 4% для восьмимагнитной. Другими словами, было показано, что для четырехмагнитной системы Хальбаха предложенная здесь численная модель обеспечивает примерно на 17% лучшую точность определения плотности магнитного потока. Разработанная нами новая формула (уравнение (3)) позволяет избавиться от перекрытия соседних магнитов в случае максимального коэффициента заполнения ( $FF = 1$ ) и в случае наибольшей плотности магнитного потока. Таким



**Рис. 4.** Двумерные изображения плотности магнитных потоков для четырехмагнитной (4М) и восьмимагнитной (8М) геометрии для приложений с использованием однородного магнитного поля при 100% заполнении. а — значение 1.154 Т получено в центре четырехмагнитной сборки, б — значение 0.674 Т получено в центре восьмимагнитной сборки.

образом, результаты данного исследования позволяют устранить погрешность и другие недостатки модели, задаваемой приведенным в литературе уравнением.

### Финансирование работы

Финансовая поддержка работы осуществлялась Советом по научно-техническим исследованиям Турции (Scientific and Technological Research Council of Turkey) (грант TUBITAK 115E776&115E777).

### Конфликт интересов

Авторы заявляют, что у них нет конфликта интересов.

### Список литературы

- [1] J.C. Mallinson, *IEEE Trans. Magn.*, **9** (4), 678 (1973).
- [2] K. Halbach, *IEEE Trans. Nucl. Sci.*, **26** (3), 3882 (1979).
- [3] K. Halbach, *Nucl. Instrum. Meth.*, **169** (1), 1 (1980).
- [4] M.W. Vogel, A. Giorni, V. Vegh, R. Pellicer-Guridi, D.C. Reutens, *PLoS ONE*, **11** (6), e0157040 (2016).
- [5] K. Turek, P. Liszkowski, *J. Magn. Res.*, **238**, 52 (2014).
- [6] C.W. Windt, H. Soltner, D. van Dusschoten, P. Blümler, *J. Magn. Res.*, **208** (1), 27 (2011).
- [7] S. Anferova, V. Anferov, J. Arnold, E. Talnishnikh, M.A. Voda, K. Kupferschläger, B. Blümich, *Magn. Res. Imaging*, **25** (4), 474 (2007).
- [8] C.Z. Cooley, J.P. Stockmann, B.D. Armstrong, M. Sarracanie, M.H. Lev, M.S. Rosen, L.L. Wald, *Magn. Res. Med.*, **73** (2), 872 (2015).
- [9] C.Z. Cooley, M.W. Haskell, S.F. Cauley, C. Sappo, C.D. Lapierre, C.G. Ha, L.L. Wald, *IEEE Trans. Magn.*, **54** (1), 5100112 (2018).
- [10] J. Konkle, P. Goodwill, S. Conolly, in *Medical imaging 2011: biomedical applications in molecular, structural, and functional imaging*, Proc. SPIE, **7965**, 79650X (2011).
- [11] M. Weber, J. Beuke, A. von Gladiss, K. Gräfe, P. Vogel, V.C. Behr, T.M. Buzug, *Int. J. Magn. Part. Imaging*, **4** (2), 1811004 (2018).
- [12] H. Bagheri, C.A. Kierans, K.J. Nelson, B.A. Andrade, C.L. Wong, A.L. Frederick, M.E. Hayden, in *5th Int. Workshop on magnetic particle imaging (IWMPPI)* (IEEE, 2015), p. 1-1.
- [13] P. Babinec, A. Krafčík, M. Babincová, J. Rosenecker, *Med. Biol. Eng. Comput.*, **48** (8), 745 (2010).
- [14] A. Sarwar, A. Nemirovski, B. Shapiro, *J. Magn. Magn. Mater.*, **324** (5), 742 (2012).
- [15] H. Soltner, P. Blümler, *Concepts Magn. Res. A*, **36A** (4), 211 (2010).
- [16] F. Balci, *Master thesis* (Yıldız Technical University, Istanbul, Turkey, 2020).